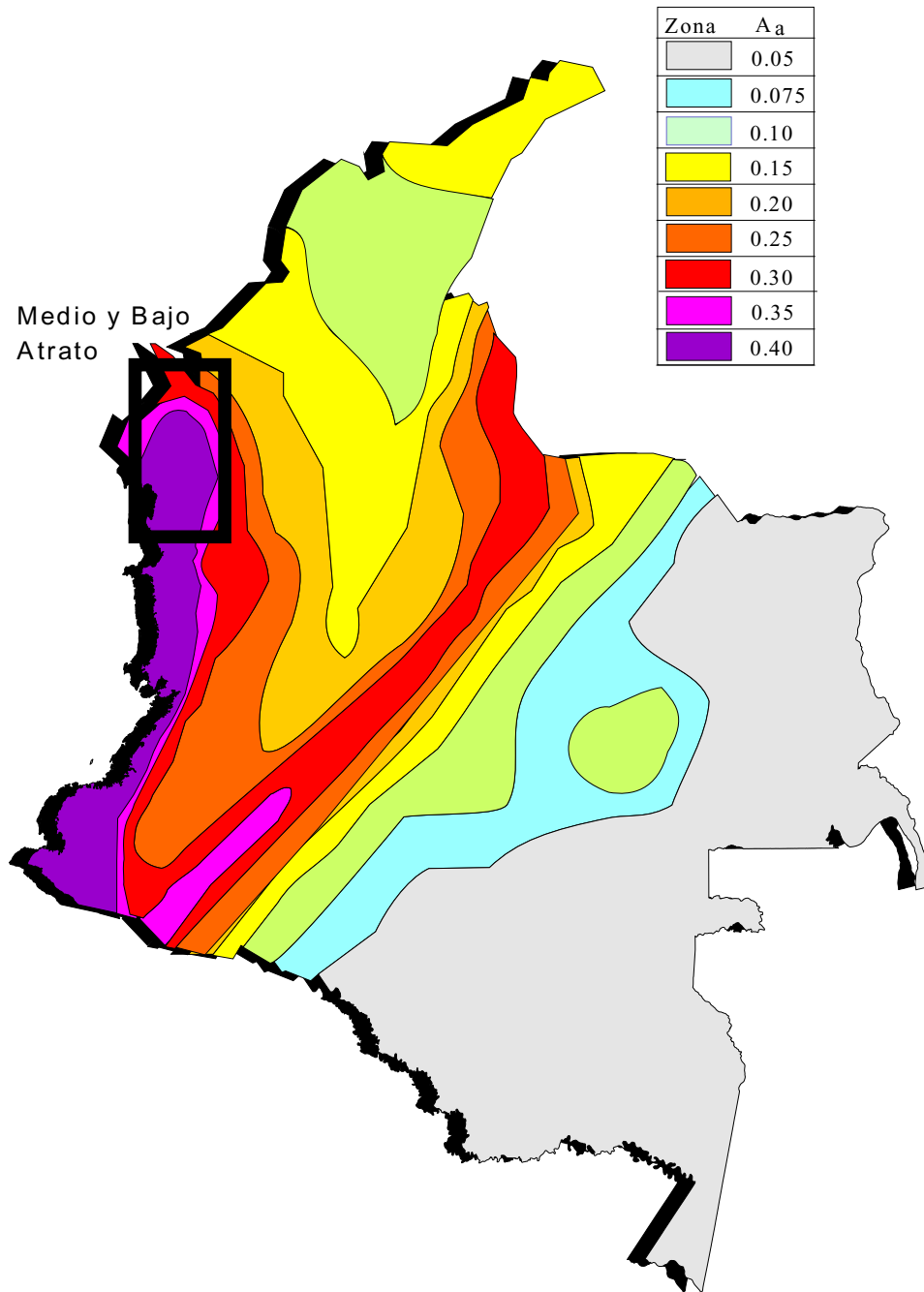
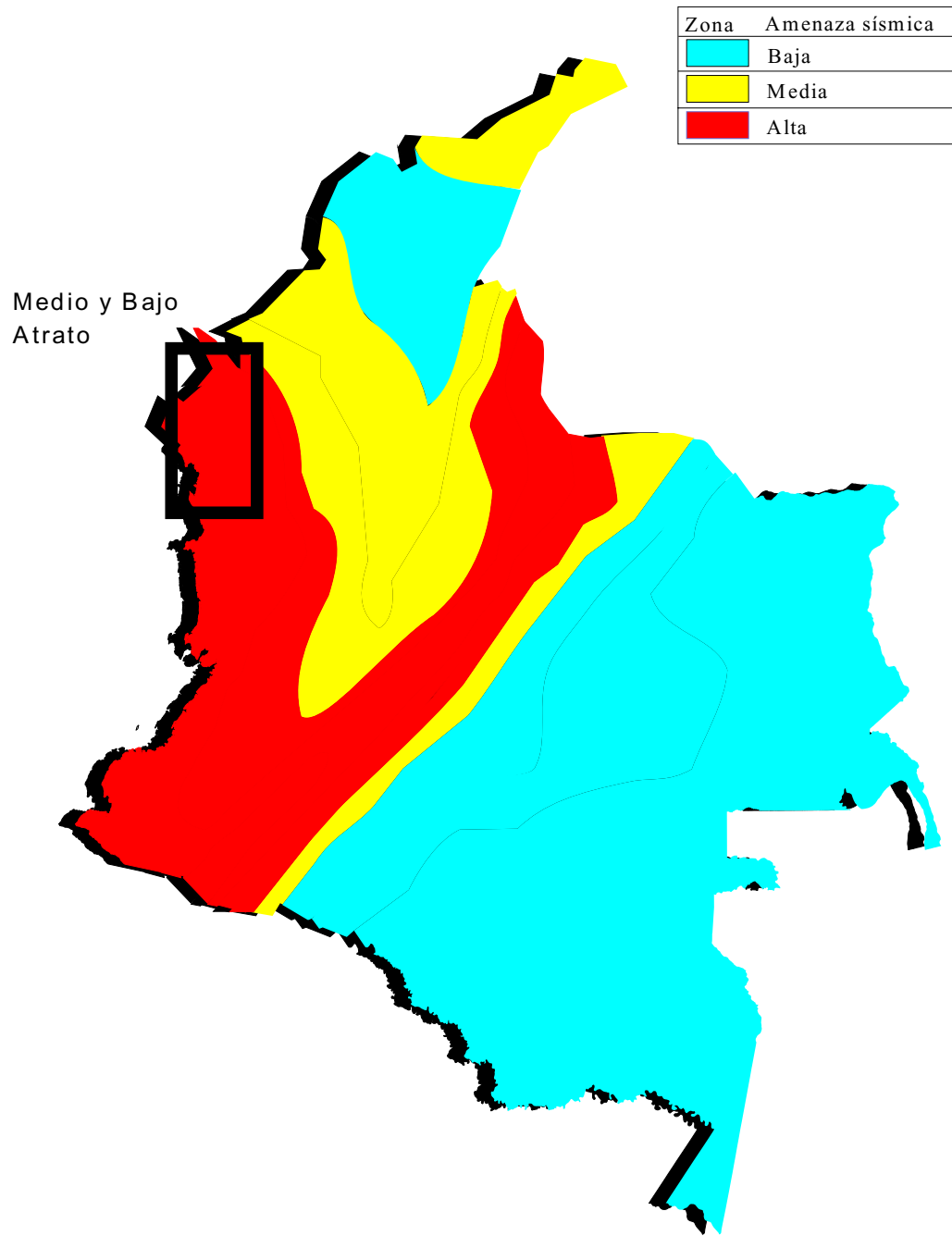


Figura 9.1 Sismicidad en la región del Chocó - Panamá



Fuente: Norma 400/97.

Figura 9.2 Aceleraciones esperables en Colombia



Fuente: Norma 400/97

Figura 9.3 Zonas de amenaza sísmica en Colombia



Foto: A. Velásquez, M. Bustamante (1992)

Figura 9.4 Vista aérea de efectos de licuación en Murindó (octubre, 1992)



Foto: A. Velásquez, M. Bustamante (1992)

Las líneas punteadas señalan el trayecto del alcantarillado con que se había dotado el pueblo.

Figura 9.5 Licuación Murindó (octubre, 1992)



Agrietamientos, licuación y caída de árboles en terrenos húmedos (antiguos cativales) potrerizados y cultivados (plátano).

Foto: A. Velásquez, M. Bustamante (1992)

Figura 9.6 Agrietamiento y licuación en la carretera a lomas aisladas (octubre, 1992)

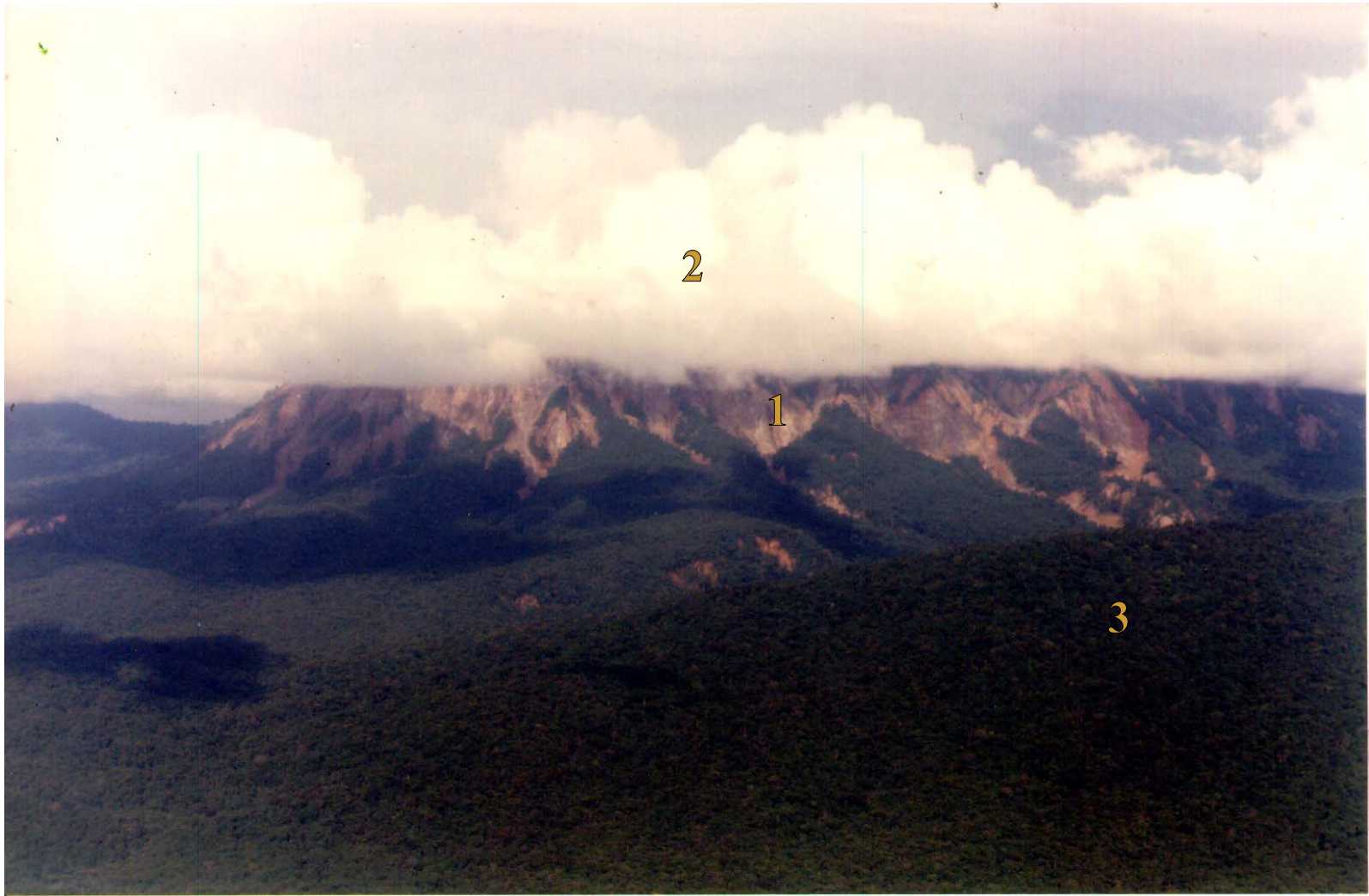


Foto: A. Velásquez, M. Bustamante (1992)

1. Vertientes escarpadas con deslizamientos masivos sobre bosque natural en saprolito de rocas ígneas.
2. Nubosidad permanente casi todo el año.
3. Vertientes inclinadas sin deslizamientos masivos.

Figura 9.7 Panorámica de deslizamientos inducidos (terremotos de 1992) Cordillera Occidental al E de Murindó



Foto: A. Velásquez, M. Bustamante (1992)

El mayor volumen y extensión de movimientos de masa, ocurrió sobre saprolitos de rocas ígneas del Batolito de Mandé, cubiertos por bosque natural.

Figura 9.8 Deslizamientos inducidos (terremotos de 1992) cuenca del río Murindó



Foto: A. Velásquez, M. Bustamante (1992)

Detalle de deslizamiento en áreas escarpadas, cuenca del río Murindó.

Figura 9.9 Deslizamientos inducidos por los terremotos de octubre de 1992, Cordillera Occidental al E de Murindó